

BULLETIN DES RELEVÉS NIVOMÉTRIQUES ET DES PROJECTIONS HYDROLOGIQUES DU YUKON

Le 1^{er} mai 2020



Rédigé et publié par :
Direction des ressources en eau
Ministère de l'Environnement

PRÉFACE

Le *Bulletin des relevés nivométriques et des projections hydrologiques du Yukon* est publié trois fois par année – au début de mars, d'avril et de mai – par la Direction des ressources en eau du ministère de l'Environnement. Le bulletin présente un sommaire des conditions météorologiques et de l'écoulement des principaux cours d'eau du Yukon durant l'hiver, ainsi que des mesures de l'épaisseur de la couche de neige et de son équivalent en eau (EEN) provenant de 57 stations. Ces données servent à évaluer les probabilités d'inondations printanières causées par des débâcles ou par un ruissellement abondant dû à la fonte printanière (débordement). Il est à noter que d'autres phénomènes, comme les pluies estivales et la fonte des glaciers, peuvent influencer considérablement les niveaux d'eau maximums annuels dans certains bassins du Yukon.

Le bulletin des relevés nivométriques est présenté dans un nouveau format et il est en constante amélioration grâce aux nouvelles technologies et aux commentaires provenant des utilisateurs et des partenaires. Les conditions météorologiques (températures et précipitations) moyennes de l'automne et de l'hiver sont présentées dans deux cartes couvrant tout le territoire. Une troisième carte présente l'équivalent en eau de la neige (EEN) relatif moyen pour 11 bassins hydrographiques (ou bassins versants). Des données météorologiques et hydrologiques complémentaires pour chaque bassin sont communiquées au moyen d'au plus cinq graphiques, selon la disponibilité des données :

- Figure A : EEN à partir de septembre à un endroit précis du bassin versant, ce qui donne un aperçu de l'évolution de la couverture de neige durant l'hiver.
- Figure B : Estimation de l'EEN moyen à la fin du mois, pour l'ensemble du bassin, calculée à partir des relevés nivométriques, comparée aux données historiques et utilisée en guise d'indicateur des volumes potentiels de ruissellement au printemps (en tenant compte que la sublimation de la neige, l'évapotranspiration, la pluie et la fonte des glaciers ont également une influence considérable sur le ruissellement).
- Figure C : Précipitations hivernales mensuelles moyennes (pluie ou neige) comparées aux données historiques (normale climatique de 30 ans). Ces renseignements complètent ceux présentés à la figure B.
- Figure D : Degrés-jours de gel cumulés (DJGC, la somme de l'inverse des températures quotidiennes) comparés aux données historiques, ce qui sert d'indicateur de la rigueur de l'hiver et de l'épaisseur du couvert de glace des rivières; des variables affectant le scénario de la débâcle printanière.
- Figure E : Estimation du débit journalier ou niveau d'eau mesuré comparée aux données historiques, ce qui donne un aperçu des conditions hydrologiques du bassin.

On peut obtenir de l'information sur le bulletin, la couverture de neige ou les projections hydrologiques en communiquant avec l'une des personnes suivantes :

Jonathan Kolot

Technologue en hydrologie

867-667-3234

jonathan.kolot@gov.yk.ca

Anthony Bier

Technologue en hydrologie

867-667-3144

anthony.bier@gov.yk.ca

Benoit Turcotte

Hydrologue principal

867-667-3223

benoit.turcotte@gov.yk.ca

Direction des ressources en eau, ministère de l'Environnement

867-667-3171, sans frais (Yukon, Territoires du Nord-Ouest, Nunavut) : 1-800-661-0408, poste 3171

Télécopieur : 867-667-3195 | Courriel : water.resources@gov.yk.ca

Deux balises à neige ont été ajoutées au réseau en 2020; une à Hyland River B et l'autre à Twin Creeks B. Le présent bulletin, tout comme les publications précédentes, est accessible à l'adresse yukon.ca/fr/bulletins-nivométriques.

ISSN 1705-883X

Le titre suivant devrait être utilisé pour citer le présent document :

Bulletin des relevés nivométriques et des projections hydrologiques du Yukon, 1^{er} mai 2020

© Mai 2020

Direction des ressources en eau

Ministère de l'Environnement

Gouvernement du Yukon

C.P. 2703, Whitehorse (Yukon) Y1A 2C6

REMERCIEMENTS

Le bulletin des relevés nivométriques fait partie du Programme des relevés nivométriques du Yukon, qui relève de la Direction des ressources en eau, ministère de l'Environnement, gouvernement du Yukon. D'autres organismes contribuent de manière importante au Programme et à la préparation du bulletin en fournissant des données et de l'information :

- *Agent responsable de la collecte des données, Service de la conservation des ressources naturelles, département de l'Agriculture des États-Unis*
- *Météorologiste, Section de la gestion des feux de forêt, ministère des Services aux collectivités du Yukon, Whitehorse*
- *Agent responsable, Division des relevés hydrologiques du Canada, Whitehorse*
- *Ingénieur en gestion des eaux, Société d'énergie du Yukon*
- *Première Nation des Gwitchin Vuntut*
- *Université McMaster*

Organismes collaborant avec le ministère de l'Environnement du Yukon dans le cadre du Programme des relevés nivométriques :

- *Ministère de l'Environnement de la Colombie-Britannique, Division de l'intendance des eaux*
- *Parcs Canada, parc national et réserve de parc national du Canada Kluane*
- *Ministère de la Voirie et des Travaux publics du Yukon*
- *Ministère de l'Énergie, des Mines et des Ressources du Yukon, Services des Inspections et du suivi de la conformité*
- *Ministère de l'Environnement du Yukon, Direction des technologies et de la gestion de l'information*
- *Gouvernement de la Première nation des Gwitchin Vuntut*

AVERTISSEMENT ET LIMITATION DE RESPONSABILITÉ

L'utilisateur comprend et reconnaît qu'il utilise les données à ses propres risques. Il incombe uniquement à l'utilisateur de vérifier l'exactitude, la disponibilité, la pertinence, la fiabilité, la convivialité, l'exhaustivité ou l'actualité des données.

L'utilisateur accepte les données « telles qu'elles sont » et reconnaît que le gouvernement du Yukon ne fait aucune représentation ni ne donne aucune garantie (expresses ou implicites) à l'égard de l'exactitude, de la disponibilité, de la pertinence, de la fiabilité, de la convivialité, de l'exhaustivité ou de l'actualité des données, y compris, sans s'y limiter, des garanties implicites de qualité marchande ou d'adaptation à un usage particulier, et l'absence de contrefaçon.

En ce qui a trait à l'accès aux données, l'utilisateur convient également qu'en aucun cas le gouvernement du Yukon ne sera tenu responsable (ni soumis à une obligation délictuelle ou contractuelle), d'une façon ou d'une autre, envers l'utilisateur ou une autre entité juridique pour ce qui est de l'exactitude, de la disponibilité, de la pertinence, de la fiabilité, de la convivialité, de l'exhaustivité ou de l'actualité des données, y compris, sans s'y limiter, d'une perte de revenu ou de profit, ou d'un dommage direct, indirect, spécial, fortuit ou immatériel découlant de l'utilisation des données ou lié à une telle utilisation.

CONDITIONS MÉTÉOROLOGIQUES ET COUVERTURE DE NEIGE SUR LE TERRITOIRE DU YUKON

Durant l'automne et l'hiver 2019-2020, les températures ont été en général près de la moyenne historique¹ dans la plupart des régions du territoire, avec une période de grand froid en janvier. Les précipitations ont été au-dessus ou bien au-dessus de la moyenne historique dans le centre du Yukon, dans les monts Mackenzie et dans les monts St. Elias. Selon les prévisions saisonnières, la fonte printanière sera tardive.

Janvier

L'année 2020 a débuté par un refroidissement dans l'ensemble du Yukon. Les températures ont été particulièrement froides dans le centre du Yukon du 5 au 20 janvier, mais l'anomalie a aussi touché le sud du Yukon, dont Whitehorse. La masse d'air arctique s'est dissipée plus tard dans le mois lorsque le sud, le centre et le nord du Yukon ont reçu presque toutes leurs précipitations mensuelles, Mayo ayant d'ailleurs enregistré un maximum absolu à cet égard pour le mois.

Février

Février a été marqué par un retour à des températures plus près de la normale dans la plupart des régions, bien qu'il y ait eu des fluctuations notables. À Whitehorse, le cumulatif mensuel s'est traduit par une anomalie de température chaude, à l'opposé des observations dans le centre et le nord du Yukon. Le sud et le centre du Yukon ont reçu d'importantes chutes de neige durant la deuxième semaine du mois, établissant de nouveaux records journaliers pour Whitehorse. Ces précipitations se sont ajoutées à la couverture de neige déjà épaisse dans le cours supérieur des bassins versants des rivières Liard, Pelly et Stewart, ainsi que dans la chaîne de montagnes St. Elias.

Mars

Contrairement à mars 2019, mars 2020 a été plus froid que la normale climatique de 30 ans partout dans le centre et le sud du Yukon. Par ailleurs, les données concernant Old Crow et les sections nord de la route Dempster étaient légèrement au-dessus de la normale. Malgré des périodes de chaleur, les températures minimales nocturnes se sont maintenues sous le point de congélation durant le mois, ce qui contribuera à retarder la fonte de la neige. À la fin du mois, l'ensemble du territoire a connu un temps froid pour la saison. Les précipitations totales étaient près de la normale climatique hormis le sud-est du Yukon, où elles se situaient à environ 50 % de la normale à long terme pour le mois de mars.

Avril

Avril a été légèrement plus froid que la normale climatique de 30 ans en raison d'une masse d'air arctique stationnaire au-dessus du nord et du centre du Yukon au milieu du mois. Bien qu'avril se soit terminé dans le froid, les températures à Old Crow et à Eagle Plains ont été, encore une fois, 2 ou 3 °C plus chaudes que la normale pour le mois. Les précipitations ont été au-dessus de la normale partout sauf à Watson Lake, surtout en neige dans le centre et le sud du Yukon, tandis que le sud a reçu un mélange de pluie et de neige. Avril est le mois le plus sec sur le plan climatique, et les précipitations totales réelles pour avril 2020 ont été en général de 10 à 15 mm.

¹ Les données historiques en matière de température, de précipitations, d'équivalent en eau de la neige, de débit et de niveau d'eau n'ont pas toujours été compilées sur une période assez longue pour établir une « normale », soit des données s'étalant sur 30 ans. En conséquence, dans le présent document, il est fait état d'une moyenne historique ou, tout simplement, d'une moyenne. Les données historiques étudiées dans le cadre de ce bulletin sont toujours suffisamment étendues dans le temps pour être représentatives des conditions hydrométéorologiques récentes.

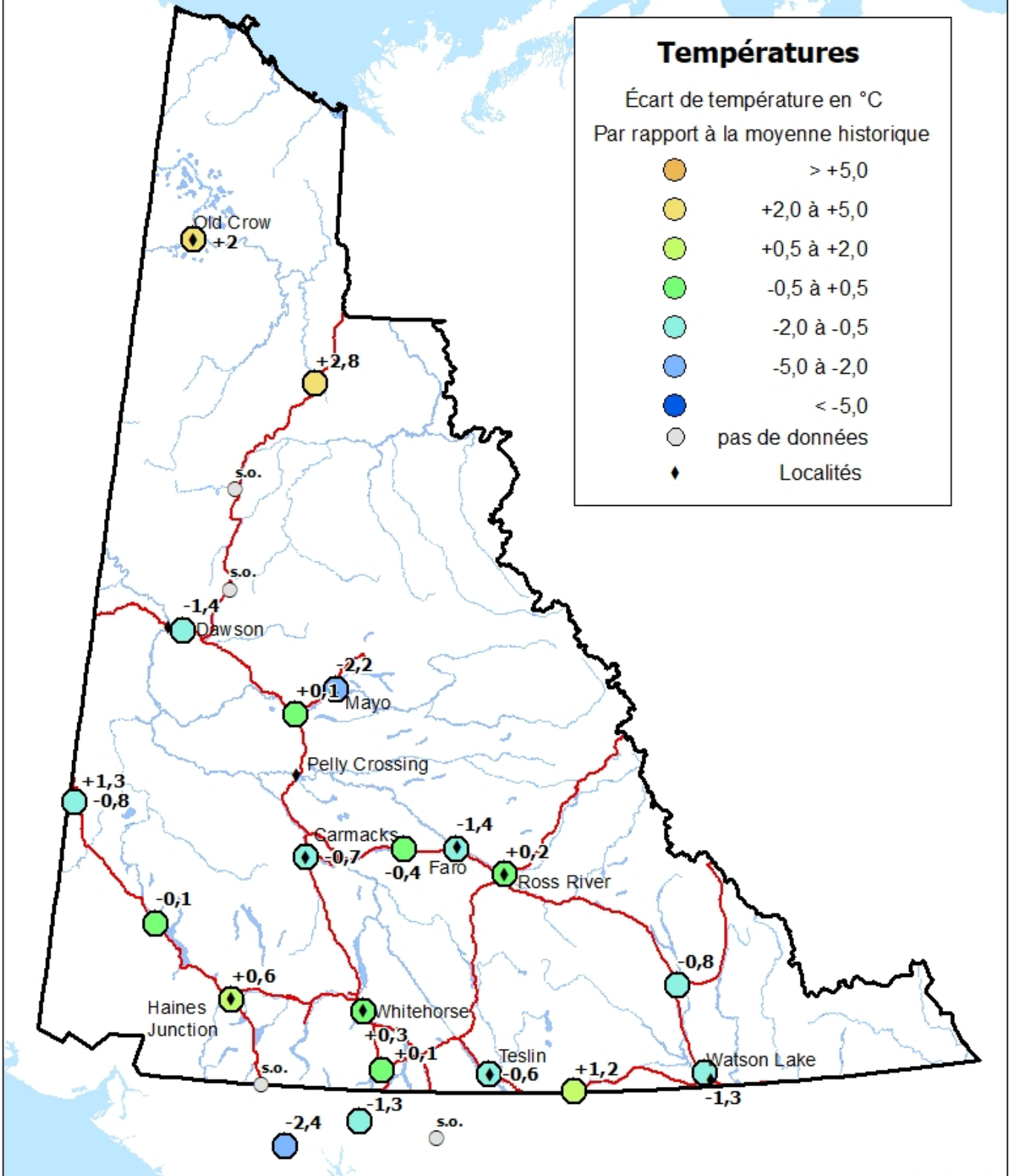
Anomalies des températures - avril 2020

Territoire du Yukon

Températures

Écart de température en °C
Par rapport à la moyenne historique

- > +5,0
- +2,0 à +5,0
- +0,5 à +2,0
- -0,5 à +0,5
- -2,0 à -0,5
- -5,0 à -2,0
- < -5,0
- pas de données
- ◆ Localités



Map ID: BW.522.TMP.2020.05-FR

© 2020 Environment Yukon

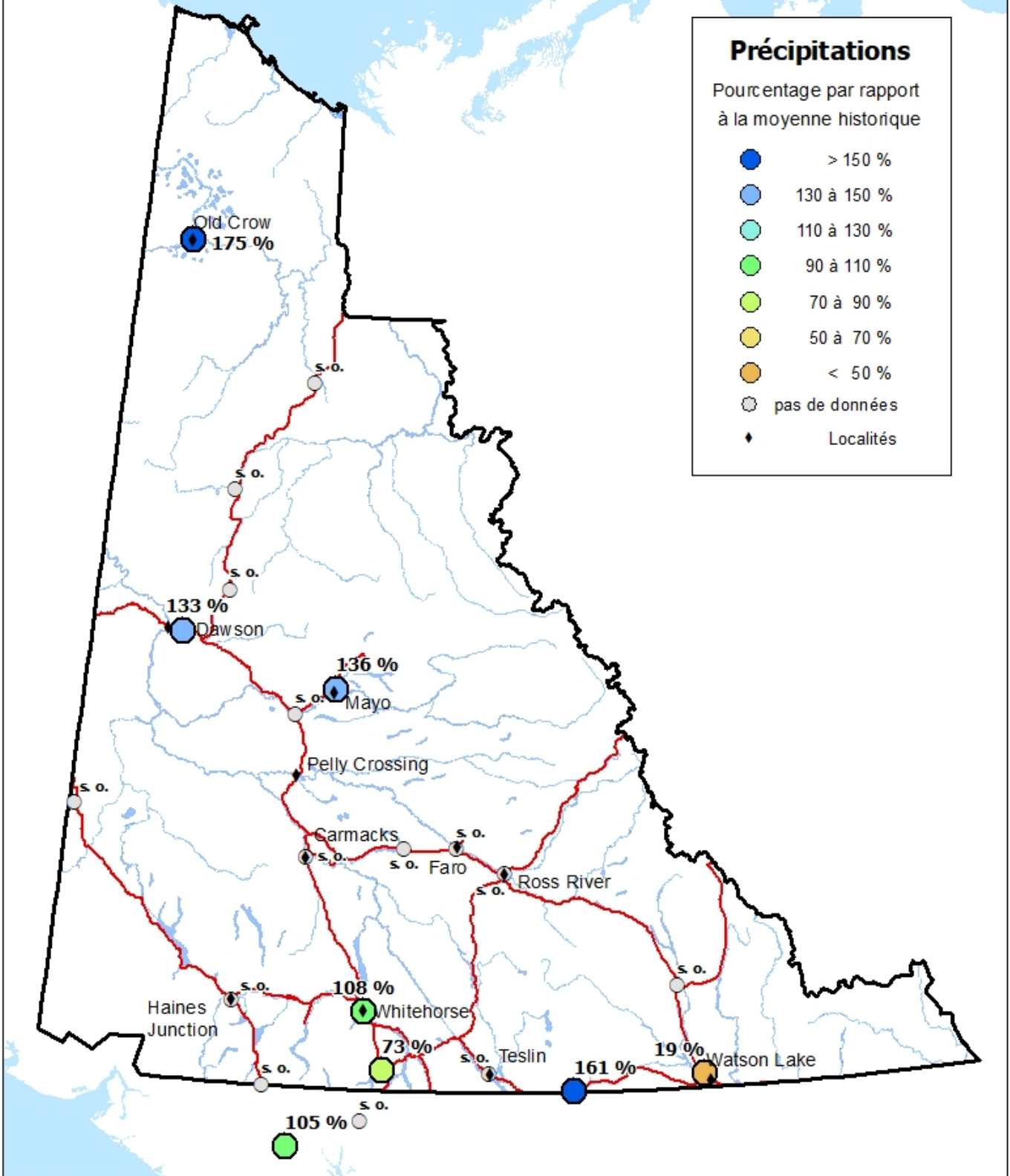
Précipitations - avril 2020

Territoire du Yukon

Précipitations

Pourcentage par rapport à la moyenne historique

- > 150 %
- 130 à 150 %
- 110 à 130 %
- 90 à 110 %
- 70 à 90 %
- 50 à 70 %
- < 50 %
- s. o. pas de données
- ◆ Localités

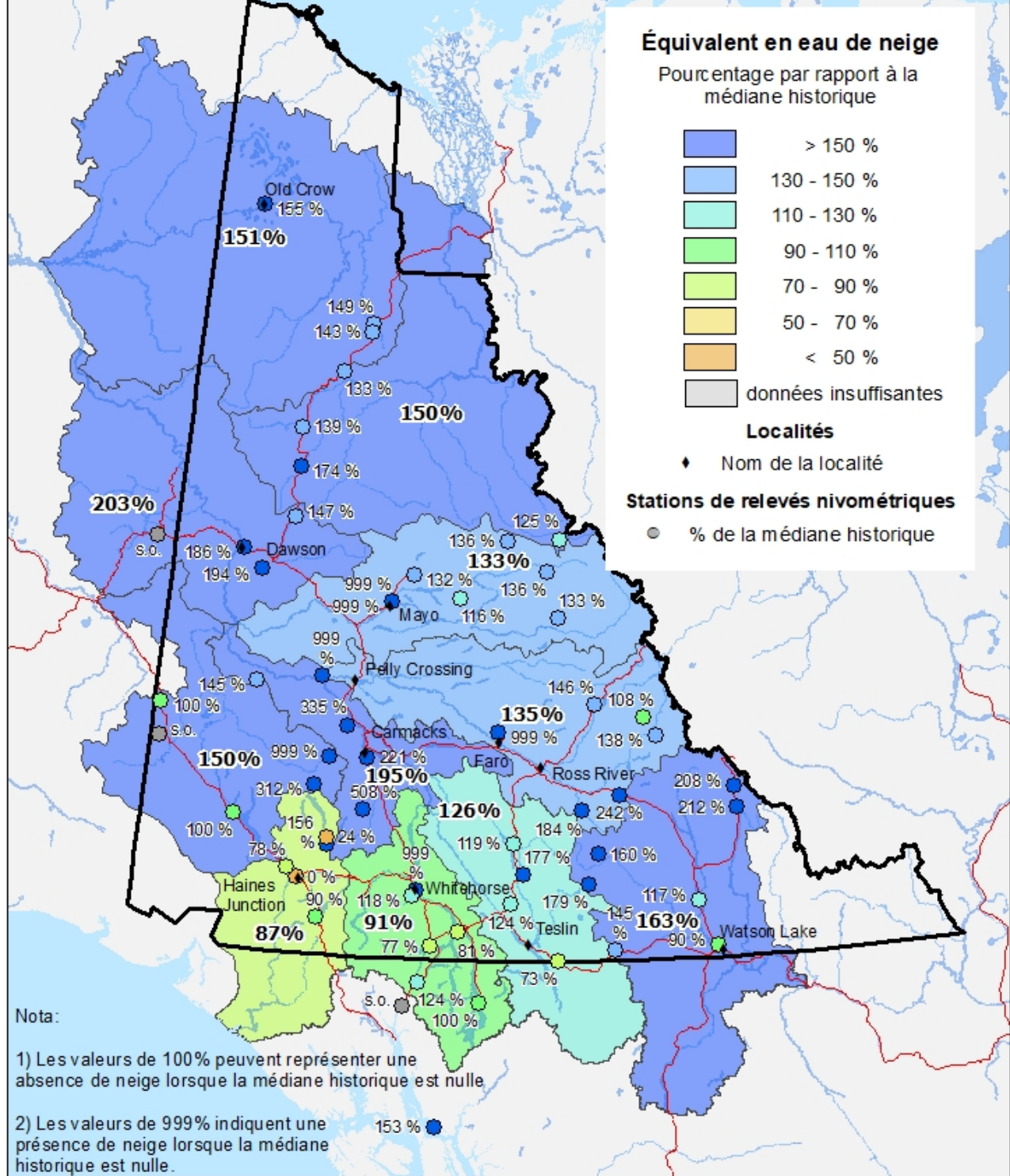


Map ID: ENV.522.PPT.2020.05-FR

© 2020 Environment Yukon

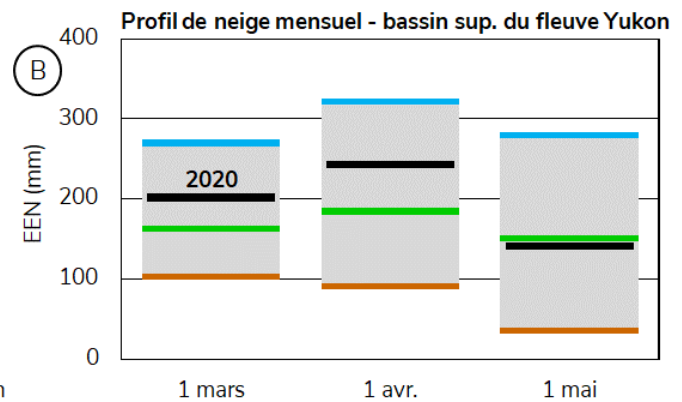
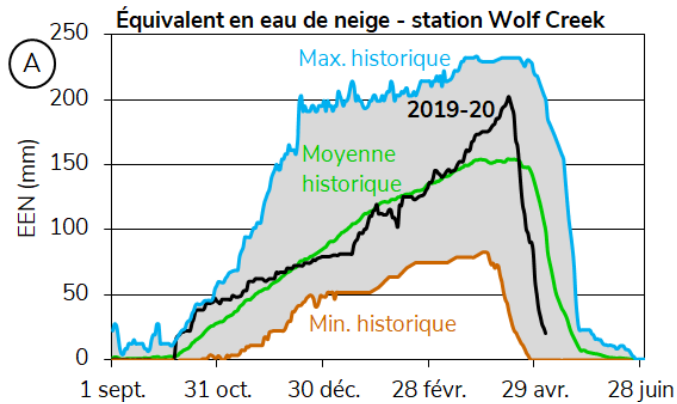
Équivalent en eau de la neige – 1^{er} mai 2020

Territoire du Yukon

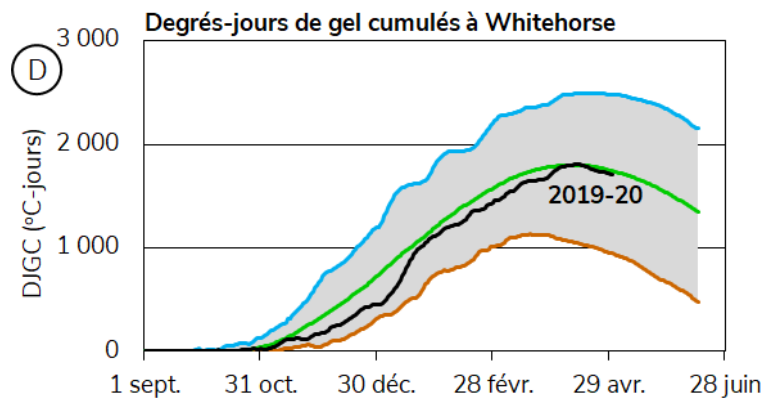
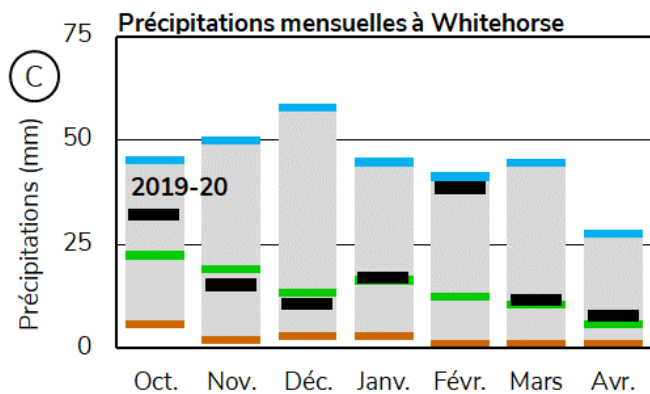


BASSIN SUPÉRIEUR DU FLEUVE YUKON (LACS DU SUD/WHITEHORSE)

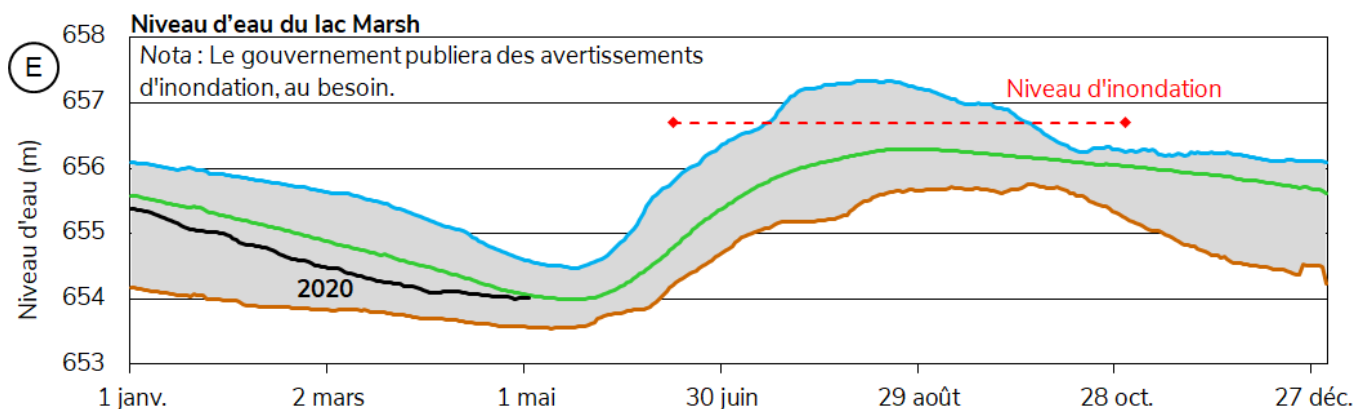
À la station subalpine Wolf Creek, les mesures indiquent que l'équivalent en eau de neige (EEN) est bas, soit à **32 %** de la **moyenne historique** en date du 1^{er} mai (figure A), après une importante fonte survenue en avril. La moyenne de l'EEN dans le bassin supérieur du fleuve Yukon est estimée à **91 %** de la **médiane historique**, soit **142 mm** en date du 1^{er} mai (figure B).



Globalement, les précipitations mensuelles enregistrées à l'aéroport de Whitehorse durant l'automne, l'hiver et le printemps ont été **près de la moyenne** (figure C), ponctuées d'anomalies positives marquées en novembre et en février. En date du 1^{er} mai, les degrés-jours de gel cumulés (DJGC) sont près de la **moyenne**, à 1 710 DJGC (figure D). Le couvert de glace sur la plupart des rivières et des autres cours d'eau a été évacué, et les lacs suivront progressivement.

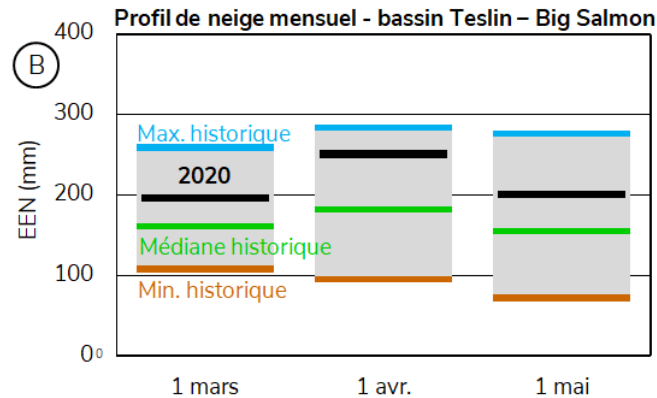


L'élévation du niveau d'eau (par rapport au niveau de la mer) du lac Marsh se situe actuellement dans la **moyenne** (figure E) et le niveau actuel continuera de monter. Les niveaux d'eau dans les lacs du Sud dépendent de l'effet combiné de la fonte de la neige, des précipitations estivales et de la fonte des glaciers. Les conditions de neige actuelles portent à croire que les niveaux d'eau seront **près de la médiane** cet été. Les conditions météorologiques des trois prochains mois influenceront ces prévisions.

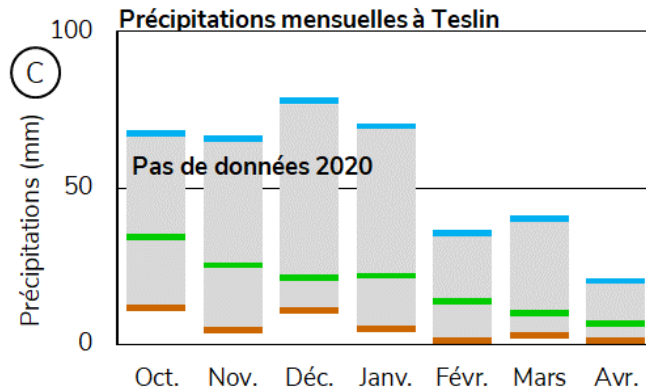


BASSIN DE LA RIVIÈRE TESLIN

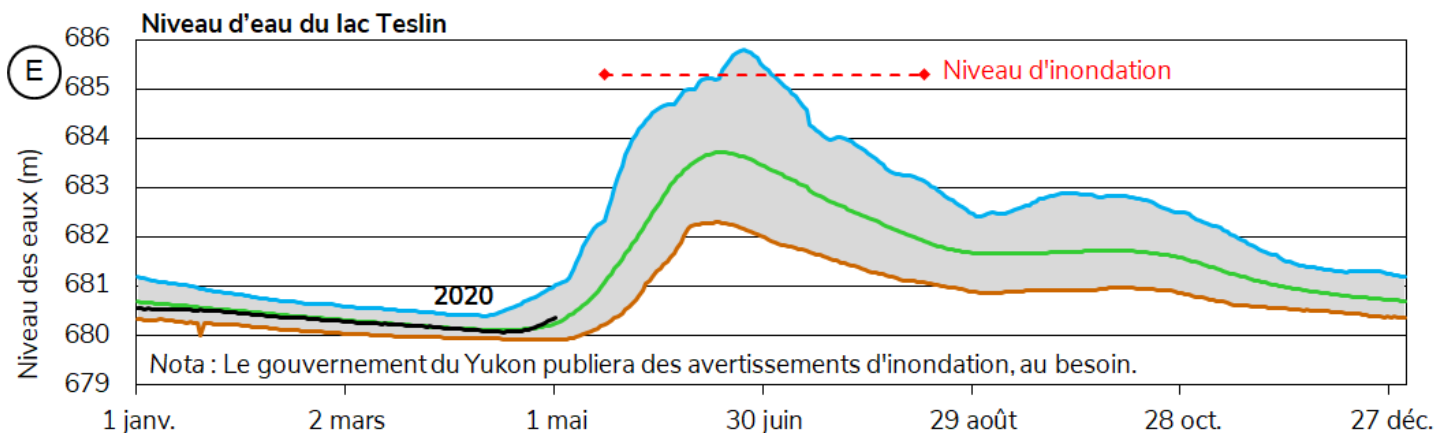
La moyenne de l'EEN dans le bassin de la rivière Teslin est estimée à **126 %** de la **médiane historique**, soit **201 mm** en date du 1^{er} mai (figure B), ce qui peut être considéré comme une accumulation de neige importante pour la région.



Aucune donnée concernant les précipitations mensuelles n'a été enregistrée à Teslin depuis octobre 2019 (figure C), mais les observations concernant la couverture de neige indiquent que les valeurs sont **supérieures** à la **moyenne**.

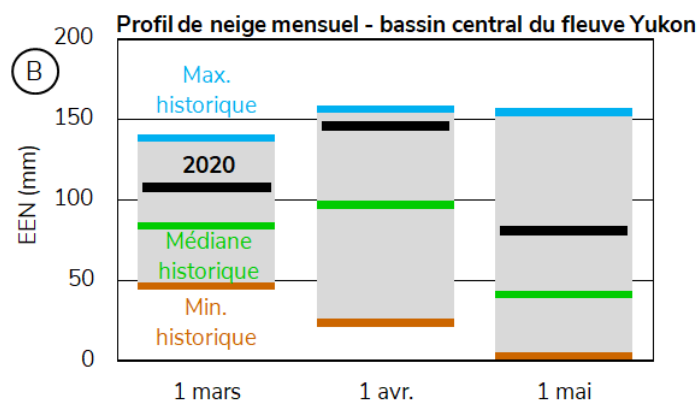


L'élévation du niveau d'eau (par rapport au niveau de la mer) du lac Teslin se situe actuellement à 0,15 m **au-dessus** de la **moyenne** (figure E). La couverture de neige **supérieure** à la **médiane** porte à croire que, cet été, les niveaux d'eau pourraient également être **supérieurs** à la **moyenne**. Les niveaux d'eau maximums sont tributaires du régime climatique printanier. Des températures chaudes et des conditions humides entraîneront des **volumes de ruissellement et des niveaux d'eau élevés**, notamment dans les rivières et ruisseaux que la route Canol Sud traverse.

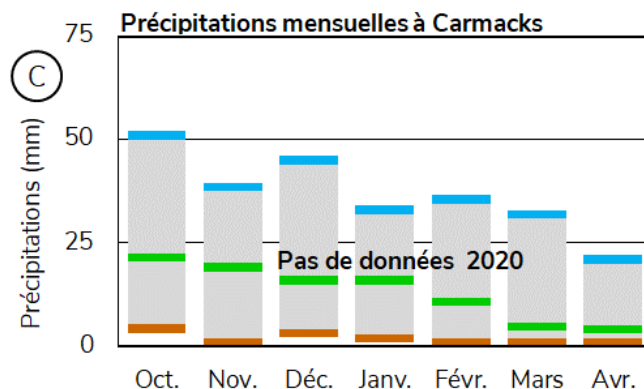


BASSIN CENTRAL DU FLEUVE YUKON (RÉGION DE CARMACKS)

La moyenne de l'EEN dans le bassin central du fleuve Yukon est estimée à **195 %** de la **médiane historique**, soit **81 mm** en date du 1^{er} mai (figure B).



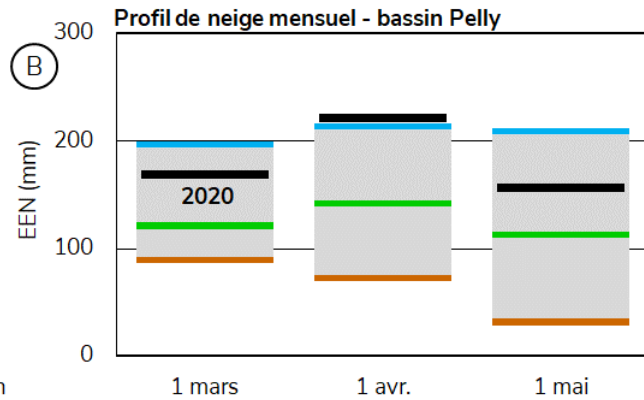
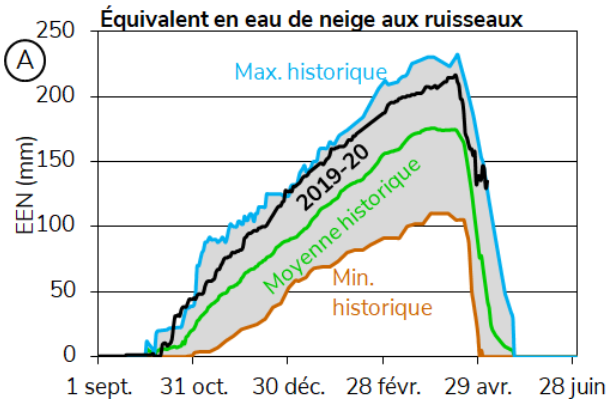
Aucune donnée concernant les précipitations mensuelles n'a été enregistrée à Carmacks depuis octobre 2019 (figure C), mais les observations concernant la couverture de neige indiquent que les valeurs étaient **supérieures** à la **moyenne**.



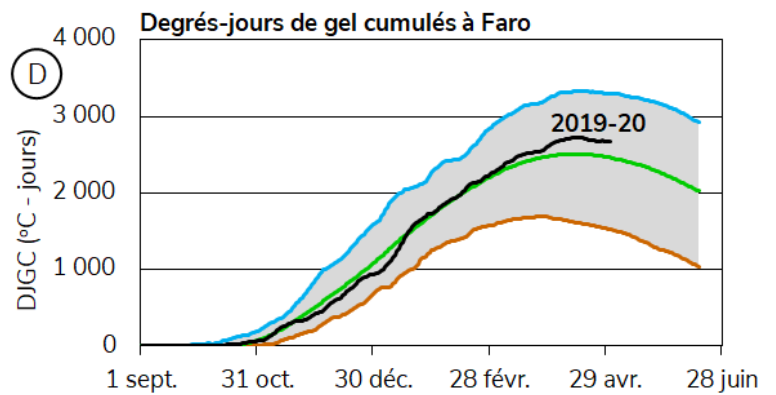
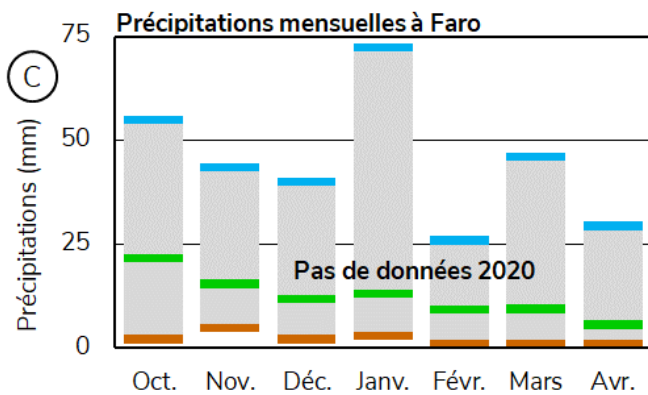
Les niveaux d'eau dans les rivières de la région de Carmacks devraient être **supérieurs** à la **moyenne** ce printemps et cet été.

BASSIN DE LA RIVIÈRE PELLY

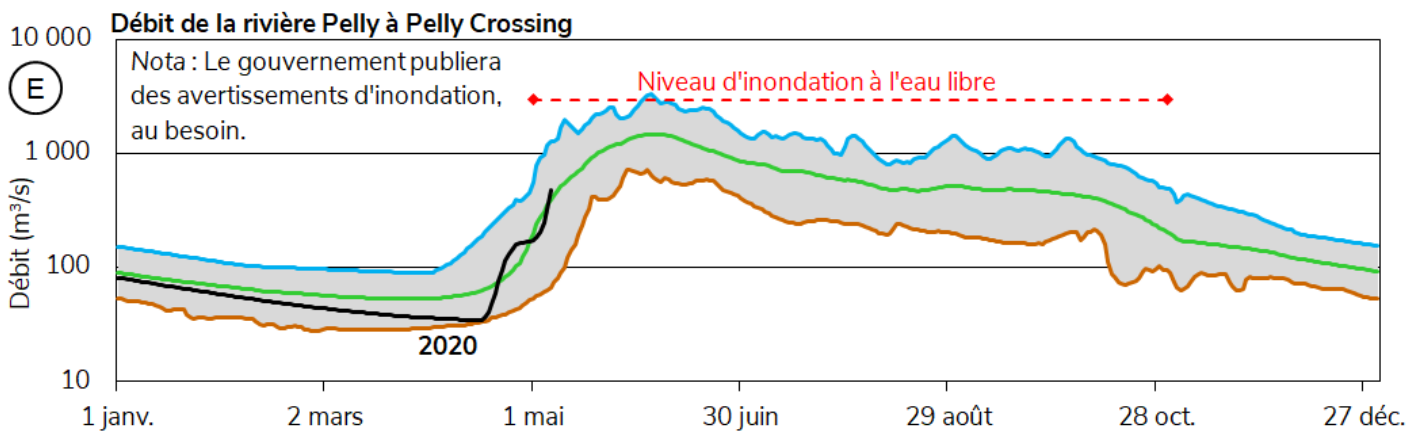
À la station météorologique Twin Creeks, la moyenne de l'EEN est estimée à **174 %** comparativement à la **moyenne** des données de 1989 à 1996 (figure A). La moyenne de l'EEN dans le bassin de la rivière Pelly est estimée à **135 %** de la **médiane historique**, soit **156 mm** en date du 1^{er} mai (figure B), ce qui est considéré comme une accumulation de neige importante.



Aucune donnée concernant les précipitations n'a été enregistrée à Faro (figure C), mais les observations concernant la couverture de neige indiquent que les valeurs sont **au-dessus** de la **moyenne**. Les degrés-jours de gel cumulés (DJGC) à Faro sont légèrement **au-dessus** de la **moyenne**, soit à 2 670 DJGC (figure D). La débâcle est presque terminée sur la rivière Pelly.

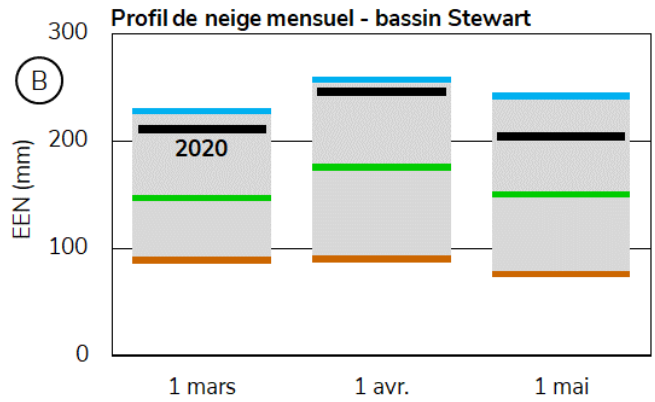
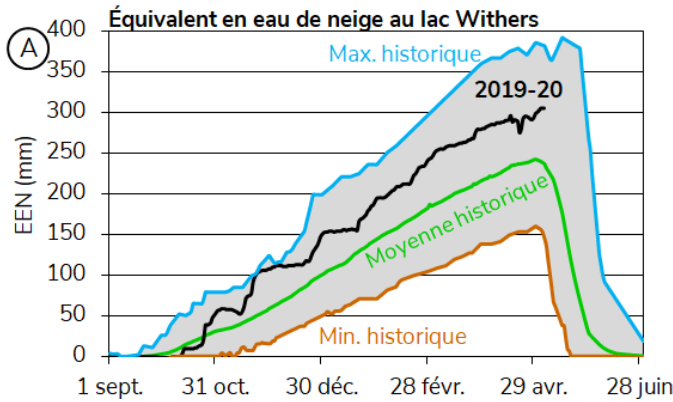


Le débit estimé de la rivière Pelly à Pelly Crossing est actuellement **près de la moyenne** (figure E). Puisque la couverture de neige est **supérieure** à la **moyenne** dans le bassin versant, les **débites de pointe de mai et de juin seront probablement importants**, notamment dans les rivières et ruisseaux que les routes Robert-Campbell et Canol traversent. Une hausse soudaine des températures de l'air en mai pourrait **causer des inondations**.

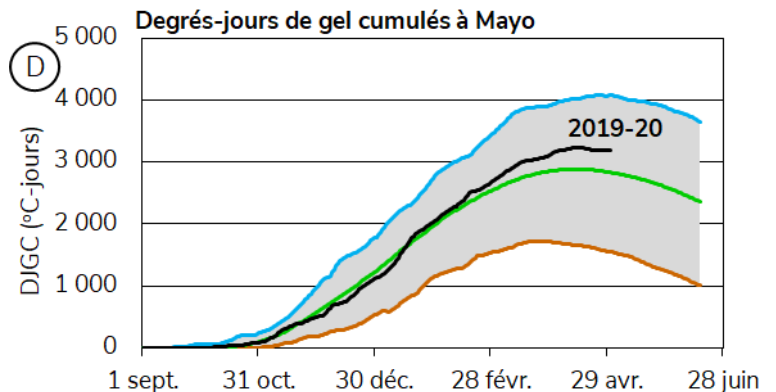
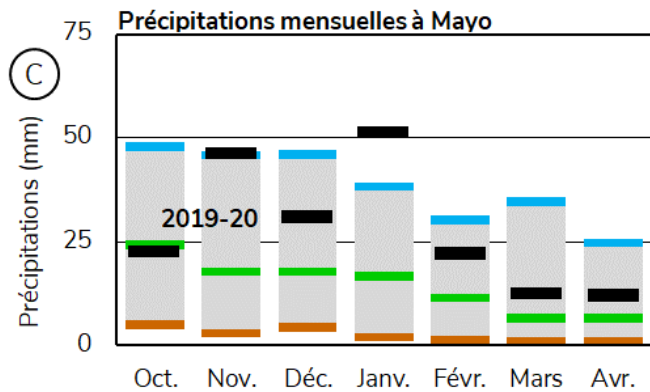


BASSIN DE LA RIVIÈRE STEWART

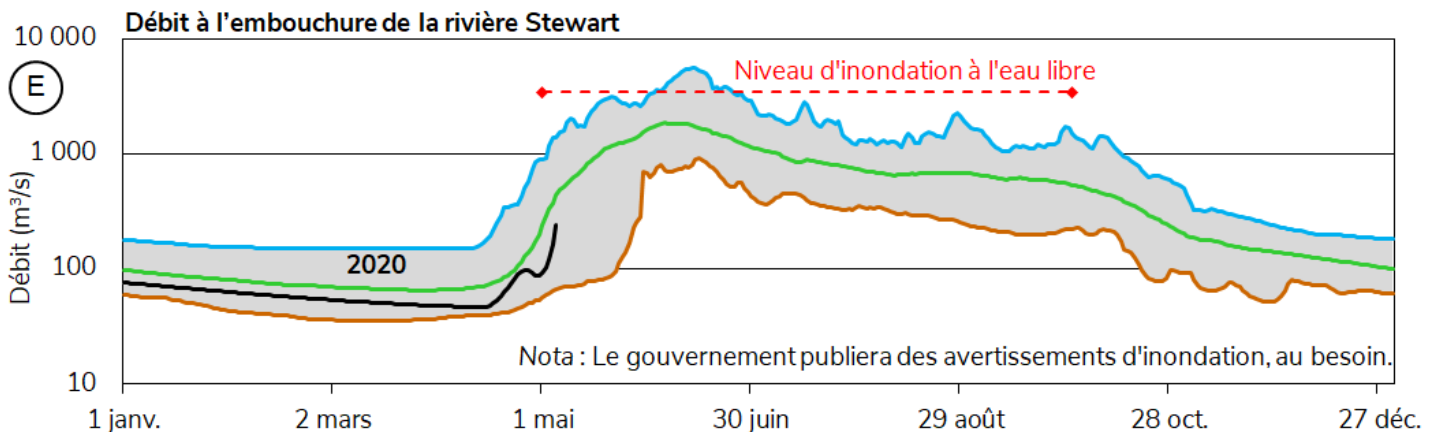
À la station météorologique Withers Lake, l'équivalent en eau de la neige (EEN) est estimé à **128 %** de la **moyenne historique** (figure A). La moyenne de l'EEN dans le bassin de la rivière Stewart est estimée à **133 %** de la **médiane historique**, soit **204 mm** en date du 1^{er} mai (figure B), ce qui peut être considéré comme une accumulation de neige importante pour la région.



Les précipitations mensuelles enregistrées à l'aéroport de Mayo durant l'hiver sont toutes **au-dessus** de la **moyenne**, dont un nouveau maximum absolu pour l'accumulation totale en janvier 2020 (figure C). Les degrés-jours de gel cumulés (DJGC) sont **au-dessus** de la **moyenne**, soit à 3 190 DJGC (figure D). La débâcle sur la rivière Stewart est presque terminée.

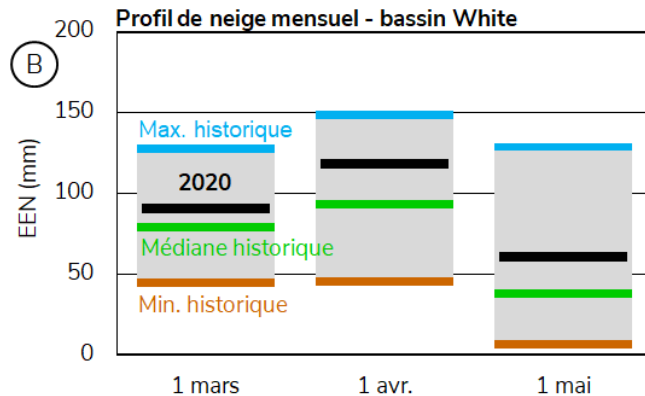


Le débit estimé à l'embouchure de la rivière Stewart est actuellement **près de la moyenne** (figure E). Puisque la couverture de neige dans le bassin versant est **bien au-dessus** de la **médiane**, les **débites de pointe de mai et de juin seront probablement importants**. Une hausse soudaine des températures de l'air en mai pourrait **causer des inondations mineures**.

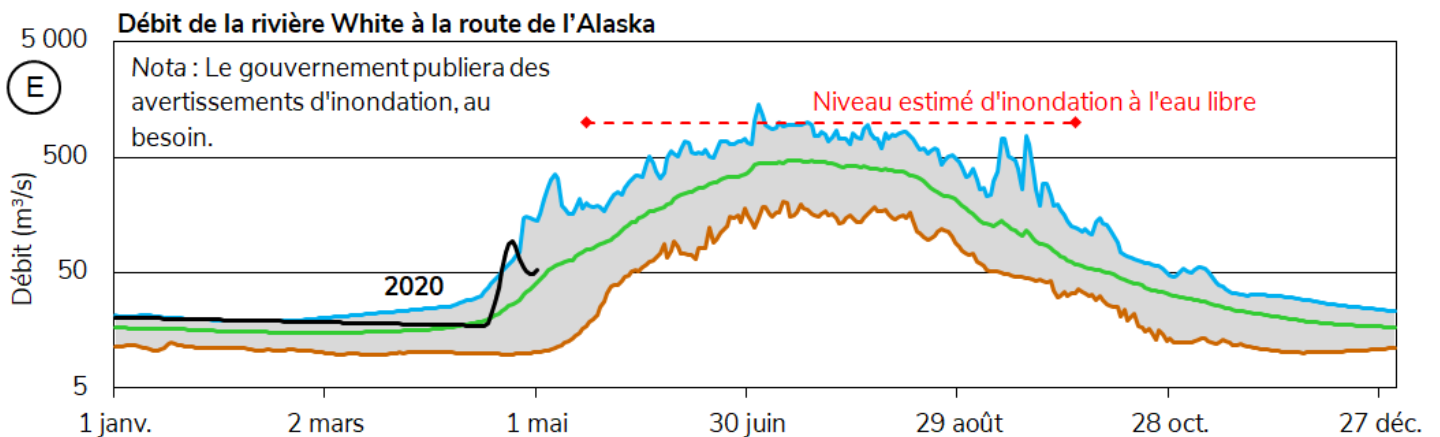


BASSIN DE LA RIVIÈRE WHITE

La moyenne de l'EEN dans le bassin de la rivière White est estimée à **150 %** de la **médiane historique**, soit **61 mm** en date du 1^{er} mai (figure B). La couverture de neige a considérablement fondu en avril, sauf en haute altitude où elle est encore importante.

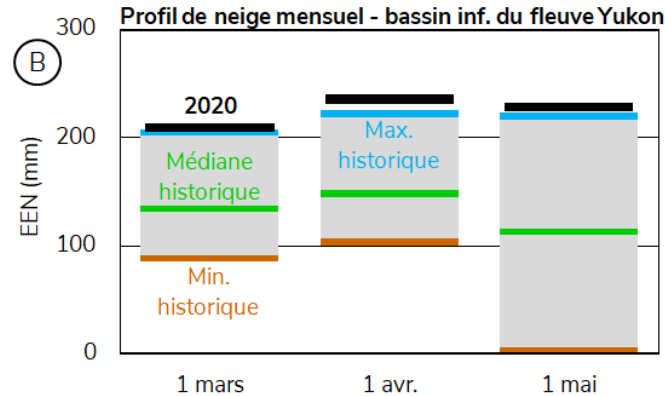


Le débit estimé de la rivière White à la route de l'Alaska est actuellement **près de la moyenne** (figure E) après un épisode de ruissellement prononcé au milieu d'avril. Les débits les plus élevés dans ce bassin versant dépendent surtout de la fonte de la neige en montagne et des glaciers, laquelle est grandement influencée par les températures et les précipitations estivales. L'accumulation de neige **au-dessus** de la **médiane** porte actuellement à croire que le **volume de la crue printanière pourrait** être **supérieur à la moyenne**. Des anomalies de température chaude ou de précipitation au cours des trois prochains mois pourraient se traduire par des **débits de pointe élevés**, notamment dans les rivières et ruisseaux que la route de l'Alaska traverse dans la région de Klouane.

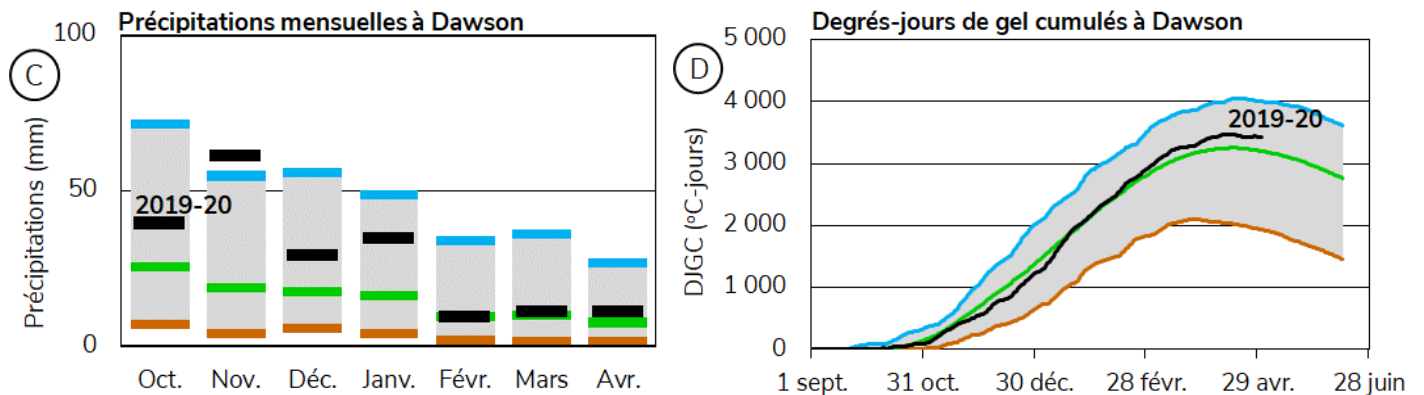


BASSIN INFÉRIEUR DU FLEUVE YUKON (RÉGION DE DAWSON)

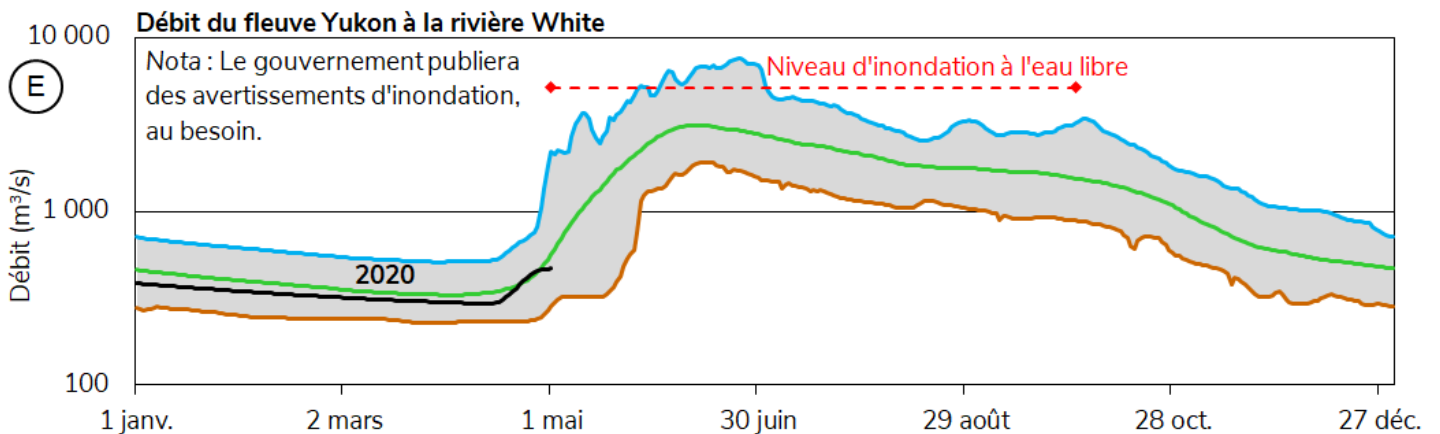
La moyenne de l'EEN dans le bassin inférieur du fleuve Yukon est estimée à **203 %** de la **médiane historique**, soit **229 mm** en date du 1^{er} mai (figure B). Il s'agit de l'accumulation de neige la plus importante depuis que les relevés sont effectués à grande échelle, soit depuis 1980.



Les précipitations mensuelles enregistrées à l'aéroport de Dawson durant l'automne et l'hiver sont généralement **au-dessus** de la **moyenne** (figure C), dont un nouveau record maximum relevé en novembre 2019. Les degrés-jours de gel cumulés (DJGC) sont **près de la moyenne**, soit à 3 440 DJGC (figure D). La débâcle survenue au début du mois de mai a été d'intensité moyenne en raison du décalage entre le ruissellement de la rivière White et celui d'autres affluents importants.

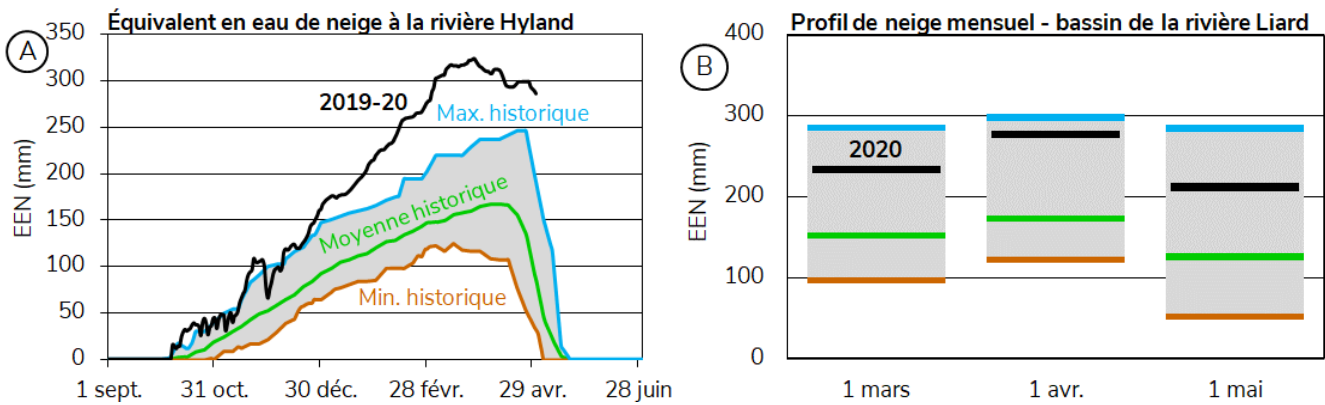


Le débit estimé du fleuve Yukon à la rivière White est **près de la moyenne** (figure E). L'accumulation de neige **bien au-dessus** de la **médiane** dans tous les bassins en amont porte à croire qu'il est **fort probable** que le **volume de la crue printanière sera important**. Cet énoncé s'applique également à la rivière Klondike où les conditions de neige sont actuellement **propices à une inondation**.

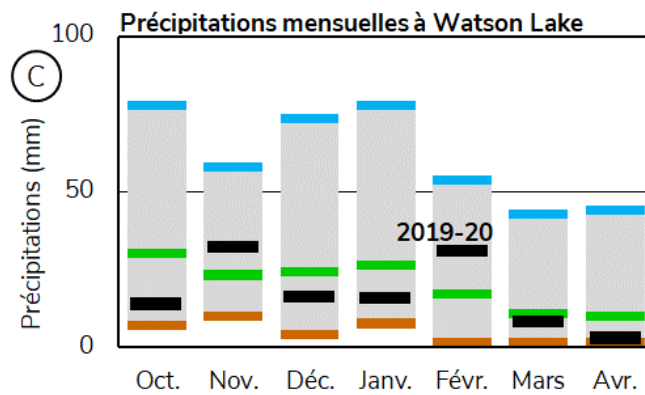


BASSIN DE LA RIVIÈRE LIARD

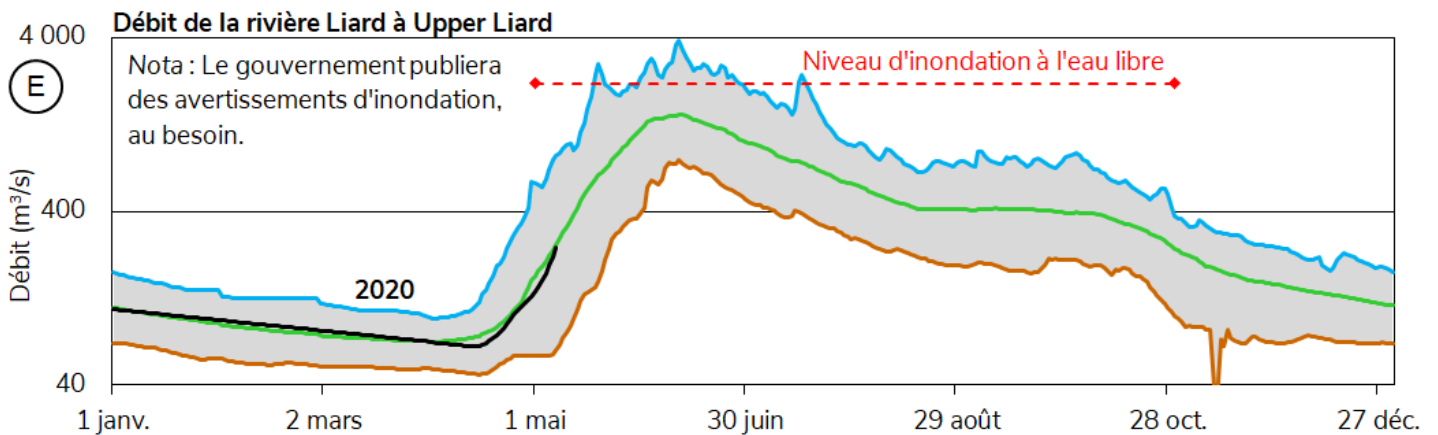
À la station météorologique Hyland, l'EEN est estimé à **340 %** de la **moyenne** des données enregistrées de 1992 à 2002 (figure A). La moyenne de l'EEN dans le bassin de la rivière Liard est estimée à **163 %** de la **médiane historique**, soit **212 mm** en date du 1^{er} mai (figure B), ce qui peut être considéré comme une accumulation de neige importante pour la région.



Les précipitations enregistrées à l'aéroport de Watson Lake durant les sept derniers mois sont variables (figure C). Le cumul est près de la **moyenne**, mais cette donnée ne s'applique qu'à la partie sud du bassin versant de la rivière Liard, du côté du Yukon.

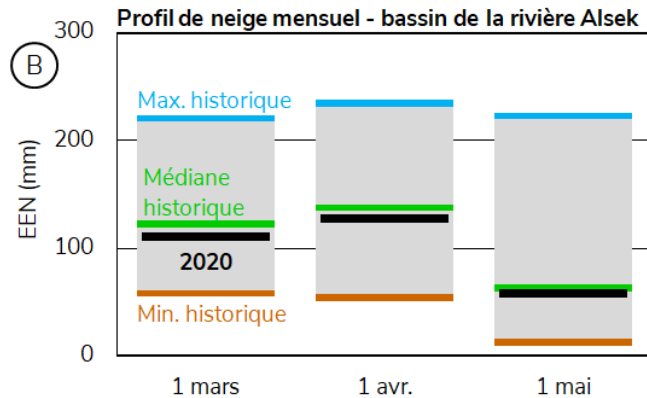


Le débit estimé de la rivière Liard à Upper Liard est actuellement **près de la moyenne** (figure E). L'accumulation de neige **bien au-dessus** de la **médiane** dans la partie nord du bassin versant augmente les probabilités que le **volume de la crue printanière sera important**, tant dans la rivière Liard que dans les rivières et ruisseaux que la route de l'Alaska et la route Robert-Campbell traversent.

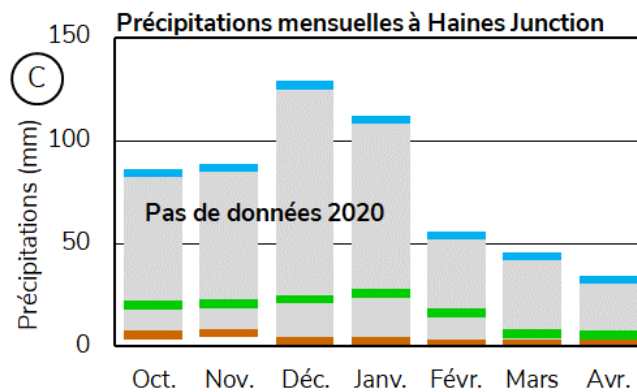


BASSIN DE LA RIVIÈRE ALSEK

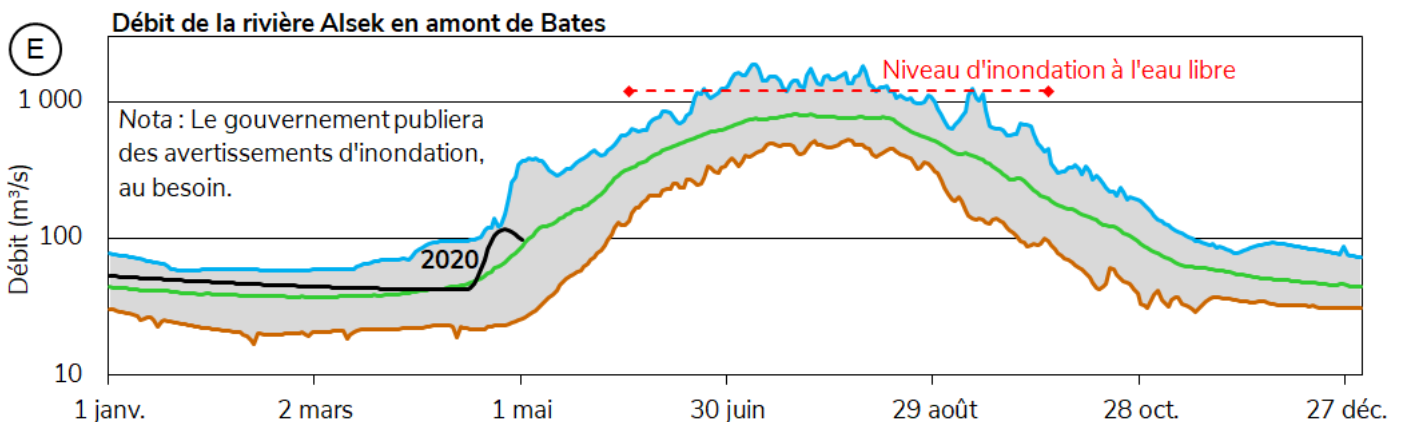
La moyenne de l'EEN dans le bassin de la rivière Alsek est estimée à **87 %** de la **médiane historique**, soit **57 mm** en date du 1^{er} mai (figure B). Cette donnée, toutefois, pourrait n'être représentative que pour les régions de Haines Junction et du lac Aishihik, tandis que l'accumulation de neige dans la chaîne de montagnes St. Elias est probablement **au-dessus** de la **médiane historique**.



Aucune donnée de précipitation n'a été enregistrée à Haines Junction (figure C), mais les observations concernant la couverture de neige indiquent que les valeurs sont, dans l'ensemble, légèrement **inférieures** à la **moyenne**.

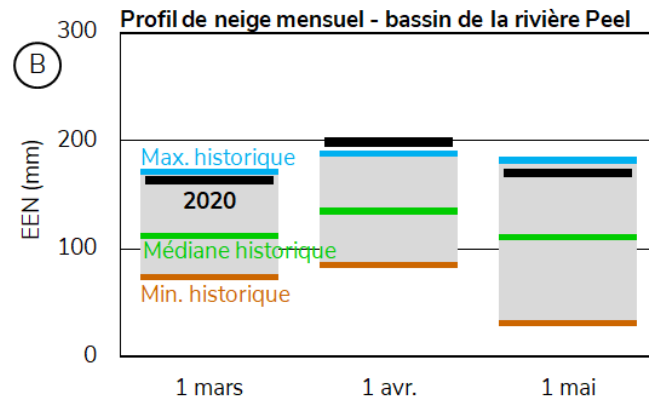


À l'heure actuelle, le débit estimé de la rivière Alsek est **près de la moyenne** (figure E). Les débits les plus élevés dans ce bassin versant dépendent surtout de la fonte de la neige en montagne et des glaciers, laquelle est grandement influencée par les températures et les précipitations estivales. L'accumulation de neige dans la chaîne de montagnes St. Elias pourrait entraîner un **volume de crue printanière supérieur** à la **moyenne**. Des anomalies de température chaude ou de précipitation au cours des trois prochains mois pourraient causer des **débits de pointe élevés**.

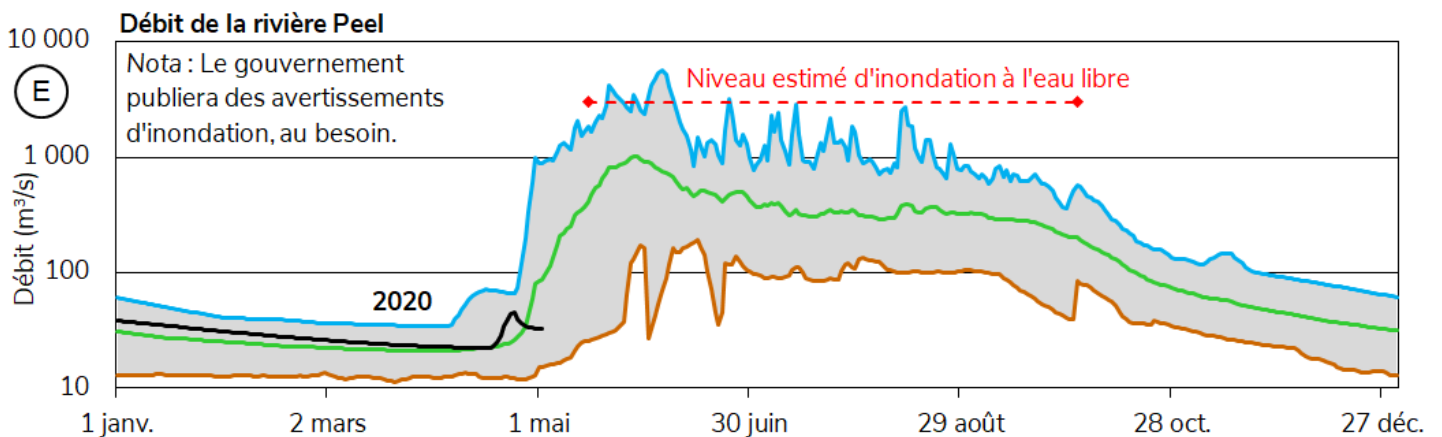


BASSIN DE LA RIVIÈRE PEEL

La moyenne de l'EEN dans le bassin de la rivière Peel est estimée à **150 %** de la **médiane historique**, soit **171 mm** en date du 1^{er} mai (figure B), ce qui est considéré comme une accumulation de neige importante.

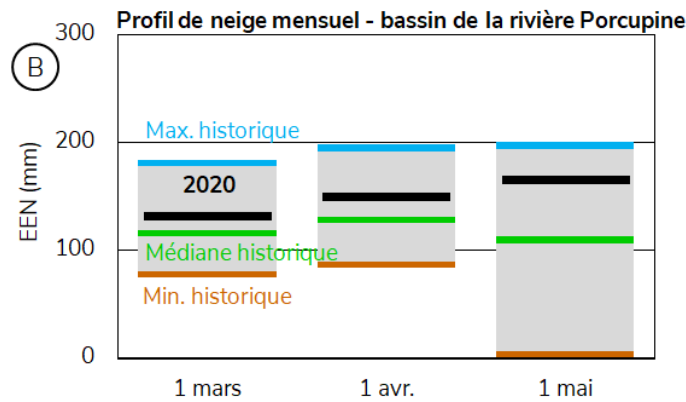


Le débit estimé de la rivière Peel le 1^{er} mai était légèrement **sous la moyenne** (figure E). L'accumulation de neige **bien au-dessus** de la **moyenne** dans le bassin versant augmente la probabilité que les **débites de pointe de mai et de juin seront importants**, notamment dans les rivières et ruisseaux que la route Dempster traverse. Des températures chaudes durant la fonte de la neige **pourraient causer des inondations**.

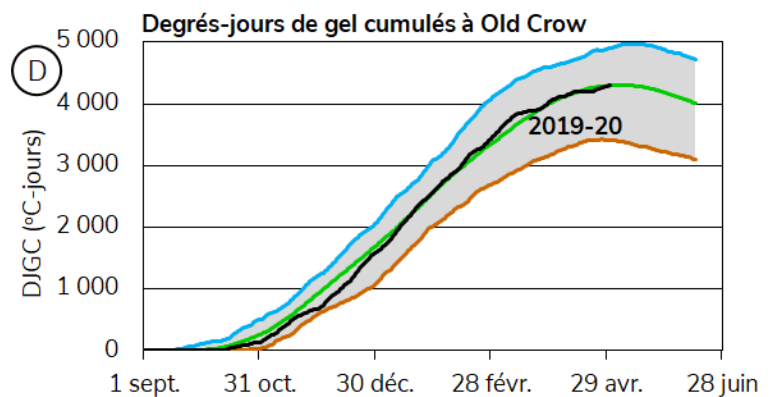
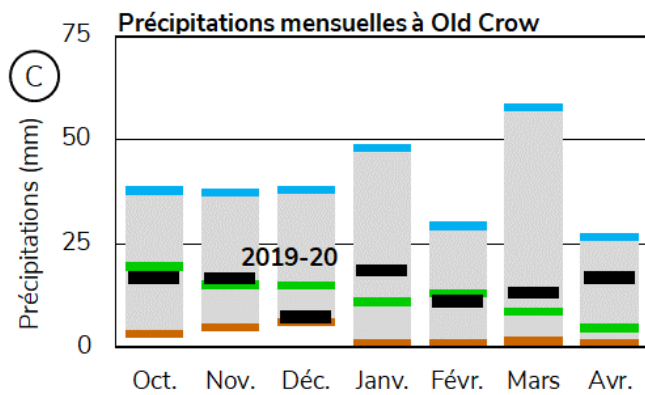


BASSIN DE LA RIVIÈRE PORCUPINE

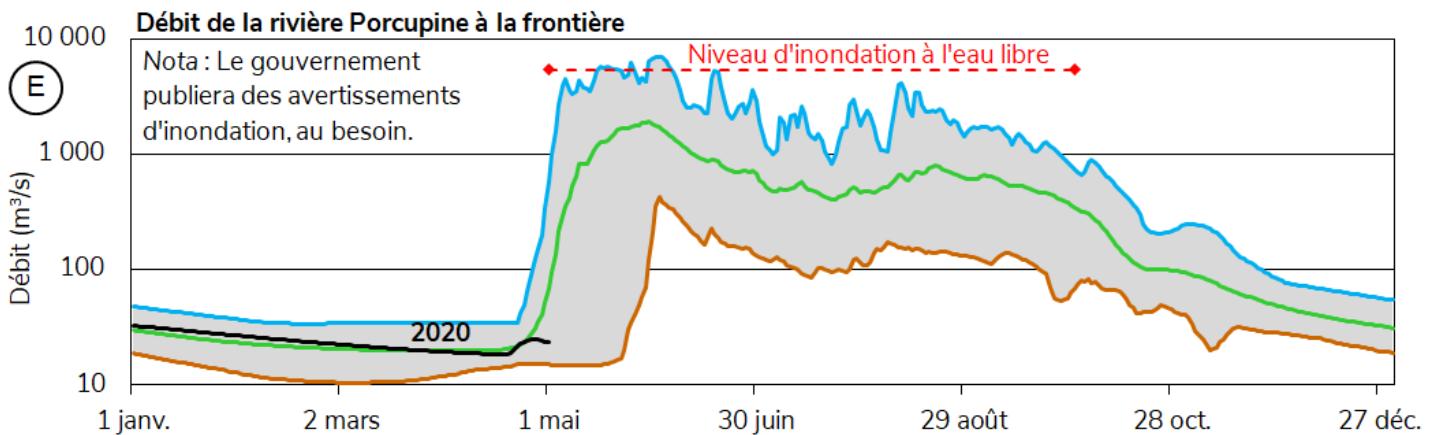
La moyenne de l'EEN dans le bassin de la rivière Porcupine est estimée à **151 %** de la **médiane historique**, soit **166 mm** en date du 1^{er} mai (figure B), ce qui est considéré comme une accumulation de neige importante.



Les précipitations mensuelles enregistrées à Old Crow durant l'automne et l'hiver sont globalement **près de la moyenne**, bien que les données d'avril soient nettement au-dessus de la moyenne (figure C). Les degrés-jours de gel cumulés (DJGC) sont aussi **près de la moyenne**, soit à 4 300 DJGC en date du 1^{er} mai (figure D), ce qui porte à croire que l'épaisseur du couvert de glace sur les rivières et les lacs de la région est **normale**. La dégradation du couvert vient de s'amorcer.



Le débit estimé de la rivière Porcupine est **près de la moyenne** (figure E). L'accumulation de neige dans le bassin versant **bien au-dessus** de la **médiane** porte à croire qu'il est **fort probable** que le **volume de la crue printanière sera important**. Avant la crue, une hausse soudaine des températures de l'air en mai pourrait **favoriser la formation d'embâcles importants**.



Bassin versant et profil de neige

Date d'échantillonnage : 2020-05-01

Nom	Numéro	Élévation (m)	Date du relevé	Épaisseur de la neige en 2020 (cm)	Contenu en eau (EEN) (mm)	Année dernière (mm)	Médiane historique EEN (mm)	N ^{bre} d'années de données
Bassin de la rivière Alsek								
Canyon Lake	08AA-SC01	1160	2020-04-27	14	39	0	41	42
Alder Creek	08AA-SC02	768	2020-04-29	20	60	0	81	38
Aishihik Lake	08AA-SC03	945	2020-04-27	3	8 E	0	44	26
Haines Junct. Farm	08AA-SC04	610	2020-04-30	0	0	0	39	19
Summit	08AB-SC03	1000	2020-04-30	49	157	219	203	38
Bassin du fleuve Yukon								
Tagish	09AA-SC01	1080	2020-04-29	32	94	81	119	44
Montana Mountain	09AA-SC02	1020	2020-04-29	34	92	36	115	43
Log Cabin (C.-B.)	09AA-SC03	884	2020-04-28	111	430	164	346	59
Atlin (C.-B.)	09AA-SC04	730	2020-04-27	0	0	0	44	52
Mt McIntyre B	09AB-SC01B	1097	2020-04-29	57	164	105	135	44
Whitehorse Airport	09AB-SC02	700	2020-04-28	6	16	0	27	53
Meadow Creek	09AD-SC01	1235	2020-04-28	109	346	164	277	44
Jordan Lake	09AD-SC02	930	2020-04-29	55	161	A.R.	92	31
Morley Lake	09AE-SC01	824	2020-04-29	19	56	0	82	32
Mount Berdoe	09AH-SC01	1035	2020-04-27	39	104	0	61	44
Satasha Lake	09AH-SC03	1106	2020-04-27	23	61	0	31	31
Williams Creek	09AH-SC04	914	2020-04-27	26	67	0	43	23
Twin Creeks B	09BA-SC02B	900	2020-04-28	54	167	56	72	4
Hoole River	09BA-SC03	1036	2020-04-29	57	164	0	91	43
Burns Lake	09BA-SC04	1112	2020-04-29	87	304	196	216	34
Finlayson Airstrip	09BA-SC05	988	2020-04-29	37	116	43	55	33
Fuller Lake	09BB-SC03	1126	2020-04-28	74	228	154	207	34
Russell Lake	09BB-SC04	1060	2020-04-28	98	260	138	217	33
Rose Creek	09BC-SC01	1080	2020-04-27	26	69	0	43	25
Mount Nansen	09CA-SC01	1021	2020-04-27	14	54	0	21	43
MacIntosh	09CA-SC02	1160	2020-04-27	35	89	0	47	42
Burwash Airstrip	09CA-SC03	810	2020-04-30	0	0	0	8	39
Beaver Creek	09CB-SC01	655	2020-04-30	0	0	0	28	43
Chair Mountain	09CB-SC02	1067	Aucun relevé			A.R.	50	13
Casino Creek	09CD-SC01	1065	2020-04-27	62	175	104	122	42
Pelly Farm	09CD-SC03	472	2020-04-27	15	57	0	18	34
Plata Airstrip	09DA-SC01	830	2020-04-28	58	195	44	144	41
Withers Lake	09DB-SC01	975	2020-04-28	85	291	151	230	34
Rackla Lake	09DB-SC02	1040	2020-04-28	81	259	142	200	33

Code « E » – Estimé; code « B » – La date du relevé est en dehors de la plage d'échantillonnage valide; « A.R. » – Aucun relevé.

Bassin versant et profil de neige
Date d'échantillonnage : 2020-05-01

Nom	Numéro	Élévation (m)	Date du relevé	Épaisseur de la neige en 2020 (cm)	Contenu en eau (EEN) (mm)	Année dernière (mm)	Médiane historique EEN (mm)	N ^{bre} d'années de données
Bassin du fleuve Yukon								
Mayo Airport A	09DC-SC01A	540	2020-04-28	35	103 E	0	13	49
Mayo Airport B	09DC-SC01B	540	2020-04-28	39	113 E	0	12	32
Edwards Lake	09DC-SC02	830	2020-04-28	56	172	44	148	33
Calumet	09DD-SC01	1310	2020-04-28	99	229	80 E	188	39
King Solomon Dome	09EA-SC01	1080	2020-04-27	72	242	0	102	44
Grizzly Creek	09EA-SC02	975	2020-04-30	70	192	0	117	44
Midnight Dome	09EB-SC01	855	2020-04-27	83	257	141	126	45
Boundary (Alaska)	09EC-SC02	1005	Aucun relevé					
Bassin de la rivière Porcupine								
Riff's Ridge	09FA-SC01	650	2020-04-30	63	180	142	125	32
Eagle Plains	09FB-SC01	710	2020-04-30	81	209	204	138	34
Eagle River	09FB-SC02	340	2020-04-30	55	160	146	101	34
Old Crow	09FD-SC01	299	2020-04-27	55	158	144	92	34
Bassin de la rivière Liard								
Watson Lake Airport	10AA-SC01	685	2020-04-27	7	18	0	49	55
Tintina Airstrip	10AA-SC02	1067	2020-04-29	92	297	148	183	43
Pine Lake Airstrip	10AA-SC03	995	2020-04-27	78	274	114	193	44
Ford Lake	10AA-SC04	1110	2020-04-29	94	308	125	173	32
Frances River	10AB-SC01	730	2020-04-29	30	88	28	85	44
Hyland River	10AD-SC01	855	2020-04-28	63	233	81	113	43
Hyland River B	10AD-SC01B	880	2020-04-28	77	271	130	144	2
Bassin de la rivière Peel								
Blackstone River	10MA-SC01	920	2020-04-28	49	125	0	67	43
Ogilvie River	10MA-SC02	595	2020-04-30	47	115	0	74	42
Bonnet Plume Lake	10MB-SC01	1120	2020-04-28	92	238	129	191	34
Profils de neige en Alaska								
Eaglecrest	08AK-SC01	305	2020-05-02	124	554	A.R.	415	34
Moore Creek Bridge	08AK-SC02	700	Aucun relevé			249 E	495	24

Code « E » – Estimé; code « B » – La date du relevé est en dehors de la plage d'échantillonnage valide; « A.R. » – Aucun relevé.

Emplacement des sites d'échantillonnage (ressources hydriques)

